

HIOKI

日置



电池测试仪系列

BATTERY TESTER Series

测量电池品质

电芯 · 模组 · 电池包

品质检测 维保检查 研发

3561,3561-01



BT3561A



BT3562A



BT3563A



BT3562-01, BT3563-01



BT3564



BT4560



BT3554-50, BT3554-51, BT3554-52



*BT3554-50 为主机型号，不单独售卖。



☎ 400-920-6010
🏠 www.hioki.cn



日置官方微信



日置资料中心

测量电池品质

生产成品电池需经历多道工序，
并会因为工序差异，其对应的检测方法也会不同。

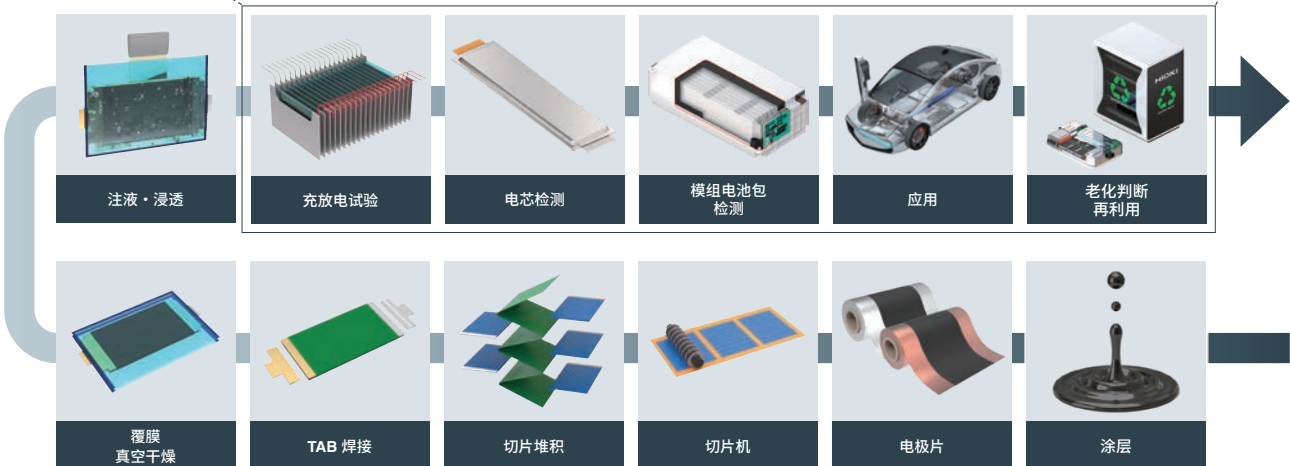
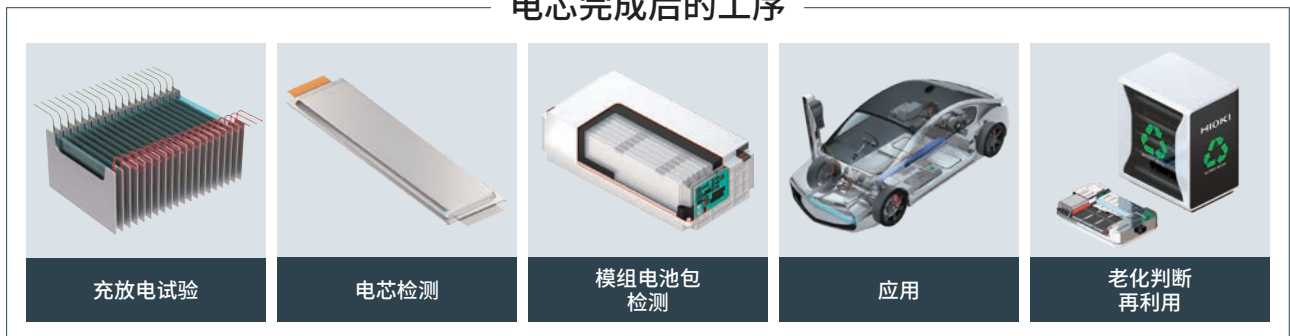
HIOKI 日置的电池测试仪适用于
「电芯完成后」的检测·开发·检查。

品质
检测

维保
检查

研发

电芯完成后的工序



锂电池的生产工序

品质检测
P.6 - P.16

入库检测 / 出库检测

生产线上完成电芯、模组、电池包的品质检测。
通过测量内阻 (AC-IR) 与开路电压 (OCV)，从而确认电池品质。



高精度测量开路电压 (OCV)

通过高精度的 OCV 测量，
能更早得检测出不合格品。



详细内容请参照 P.9

直流电压计
DM7276

增加检测通道数

增加检测通道数、
实现测量的自动切换。



详细内容请参照 P.14 - 15

扫描模块机架
SW1002

维保检查
P.17

蓄电池的老化判断

可以判定配有 UPS 的蓄电池的老化情况。



BT3554-50 (主机)

BT3554-51 (配套 9465-10)

BT3554-52 (配套 L2020)

无线适配器
Z3210

GENNECT
Cross

研发
P.18 - P.20

解析电池

对开发中的电池特性进行阻抗测试，
用 Cole-Cole Plot 进行解析。



BT4560

解析燃料电池 (FC)

可测试在循环试验中燃料电池的
内阻 (1kHz)。



BT3563-01 (特殊规格), BT3564 (特殊规格)

在更广的频带下测量阻抗

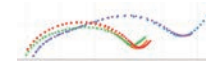
扩大测量频率范围进行测试。



详细内容请参照 P.19
化学阻抗分析仪
IM3590

将测试数据转换为 Cole-Cole 图

免费提供 WEB 应用软件 “Multi-plot”。



详细内容请参照 P.20

电池测试仪产品群

用途		入库检测 • 出库检测				
		通用小型电芯的 高速检测	用于动力的小型电芯 60V 以内的小型电池包	用于 xEV 的大型电芯 100 V 以内的中型电池包	用于 xEV 的大型电池包 300 V 以内的大型电池包	
型号		3561, 3561-01	BT3561A	BT3562A	BT3563A	
外观						
测量方法		交流 4 端子法	交流 4 端子法	交流 4 端子法	交流 4 端子法	
测量电流频率		1 kHz ±0.2 Hz	1 kHz ±0.2 Hz	1 kHz ±0.2 Hz	1 kHz ±0.2 Hz	
最大输入电压		DC ±22 V	DC ±60 V	DC ±100 V	DC ±300 V	
接地最大额定电压		DC ±60 V	DC ±60 V	DC ±100 V	DC ±300 V	
测 量	电阻测试量程	3 mΩ	—	—	3.1000 mΩ, 0.1 μΩ, 100 mA	3.1000 mΩ, 0.1 μΩ, 100 mA
		30 mΩ	—	31.000 mΩ, 1 μΩ, 100 mA	31.000 mΩ, 1 μΩ, 100 mA	31.000 mΩ, 1 μΩ, 100 mA
		300 mΩ	310.00 mΩ, 10 μΩ, 10 mA	310.00 mΩ, 10 μΩ, 10 mA	310.00 mΩ, 10 μΩ, 10 mA	310.00 mΩ, 10 μΩ, 10 mA
	最大显示, 分辨率 测量电流	3 Ω	3.1000 Ω, 100 μΩ, 1 mA	3.1000 Ω, 100 μΩ, 1 mA	3.1000 Ω, 100 μΩ, 1 mA	3.1000 Ω, 100 μΩ, 1 mA
		30 Ω	—	31.000 Ω, 1 mΩ, 100 μA	31.000 Ω, 1 mΩ, 100 μA	31.000 Ω, 1 mΩ, 100 μA
		300 Ω	—	310.00 Ω, 10 mΩ, 10 μA	310.00 Ω, 10 mΩ, 10 μA	310.00 Ω, 10 mΩ, 10 μA
	基本精度	3 kΩ	—	3.1000 kΩ, 100 mΩ, 10 μA	3.1000 kΩ, 100 mΩ, 10 μA	3.1000 kΩ, 100 mΩ, 10 μA
		3 mΩ 量程	—	—	±0.5% rdg ±10 dgt	±0.5% rdg ±10 dgt
		30 mΩ 量程以上	±0.5% rdg ±5 dgt	±0.5% rdg ±5 dgt	±0.5% rdg ±5 dgt	±0.5% rdg ±5 dgt
	电压测试量程	6 V	—	6.000 0 V, 10 μV	6.000 0 V, 10 μV	6.000 0 V, 10 μV
		20 V	19.999 9 V, 100 μV	—	—	—
		60 V	—	60.000 0 V, 100 μV	60.000 0 V, 100 μV	60.000 0 V, 100 μV
		100 V	—	—	100.000 V, 1 mV	—
		300 V	—	—	—	300.000 V, 1 mV
1000 V		—	—	—	—	
基本精度	±0.01% rdg ±3 dgt	±0.01% rdg ±3 dgt	±0.01% rdg ±3 dgt	±0.01% rdg ±3 dgt		
测量响应时间 ^{*1}		3 ms	10 ms	10 ms	10 ms	
采样时间 ^{*2}		Ω 或 V	4 ms, 12 ms, 35 ms, 150 ms	4 ms, 12 ms, 35 ms, 150 ms	4 ms, 12 ms, 35 ms, 150 ms	
EX.FAST, FAST, MEDIUM, SLOW		ΩV	7 ms, 23 ms, 69 ms, 252 ms	8 ms, 24 ms, 70 ms, 253 ms	8 ms, 24 ms, 70 ms, 253 ms	
回路电阻的允许范围 ^{*1, *3} (错误检测)		SENSE 端	—, —, 20 Ω, 20 Ω	—, 6.5 Ω, 30 Ω, 30 Ω	6.5 Ω, 6.5 Ω, 30 Ω, 30 Ω	
量程: 3 mΩ, 30 mΩ, 300 mΩ, 3 Ω		SOURCE 端	—, —, 50 Ω, 500 Ω	—, 5.5 Ω, 15 Ω, 150 Ω	5.5 Ω, 5.5 Ω, 15 Ω, 150 Ω	
开路端口电压 量程: 30 mΩ 以下, 300 mΩ, 3 Ω 以上		—, 7 V, 7 V peak	25 V, 7 V, 4 V peak	25 V, 7 V, 4 V peak	25 V, 7 V, 4 V peak	
接 口	LAN (TCP/IP, 10BASE-T/100BASE-TX)	—	○	○	○	
	RS-232C ^{*4} (最大 38400 bps)	○	○	○	○	
	USB	—	—	—	—	
	GP-IB	○ (仅 3561-01)	—	—	—	
	EXT I/O (37-pin Handler interface)	○ (36-pin)	○	○	○	
	模拟输出 (DC 0 V ~ 3.1 V)	—	○	○	○	
功 能	接触检查	○	○	○	○	
	调零 (计数 ±1000)	○	○	○	○	
	脉冲测试功能	—	○	○	○	
	比较器	Hi/ IN/ Lo	Hi/ IN/ Lo	Hi/ IN/ Lo	Hi/ IN/ Lo	
	统计运算功能	最多 30,000 组数据	最多 30,000 组数据	最多 30,000 组数据	最多 30,000 组数据	
	显示功能	○	○	○	○	
	平均功能	2 ~ 16 次	2 ~ 16 次	2 ~ 16 次	2 ~ 16 次	
	保存设置 (面板保存)	126 组	126 组	126 组	126 组	
	保存功能	400 个	400 个	400 个	400 个	
	可对应 LabVIEW [®] 驱动 ^{*5}	○	○	○	○	
适用标准		安全性: EN61010 EMC: EN61326 Class A	安全性: EN61010 EMC: EN61326 Class A	安全性: EN61010 EMC: EN61326 Class A	安全性: EN61010 EMC: EN61326 Class A	
对放射性无线频率电磁场的影响		适用 ^{*6}	适用 ^{*6}	适用 ^{*6}	适用 ^{*6}	
传导性无线频率电磁场的影响	10 V	—	适用	适用	适用	
	3 V	适用	适用	适用	适用	
可对应 CE		○	○	○	○	
可对应 CSA ^{*7}		—	○	○	○	
尺寸 • 重量		215W × 80H × 295D mm 2.4 kg	215W × 80H × 295D mm 2.4 kg	215W × 80H × 295D mm 2.4 kg	215W × 80H × 295D mm 2.4 kg	

*1: 参考值 *2: 电源频率: 60Hz 时 *3: 回路电阻 = (配线电阻 + 接触电阻 + 被测物电阻) *4: 打印机 I/F 兼用

*5: LabVIEW 驱动为 National Instruments 公司的商标以及注册商标 *6: 试验条件 80 MHz ~ 1 GHz : 10 V/m, 1 GHz ~ 6 GHz : 3 V/m

*7: Canadian Standards Association

用途	入库检测 • 出库检测		研究 • 开发	维保		
	用于 xEV、ESS 的 超大型电池包 1000 V 以内的高电压模组	GP-IB 机型	电芯或者 20V 以内的电池包 为了其再利用、确认其老化程度	大型 UPS		
型号	BT3564	BT3562-01 BT3563-01	BT4560	BT3554-50 BT3554-51 BT3554-52		
外观	有专门面向燃料电池的特殊规格 		10 kHz 特殊规格(详细情况 请参照 P.19) 			
测量方法	交流 4 端子法	交流 4 端子法	交流 4 端子法	交流 4 端子法		
测量电流频率	1 kHz ±0.2 Hz	1 kHz ±0.2 Hz	0.10 Hz ~ 1050 Hz	1 kHz ±80 Hz		
最大输入电压	DC ±1000 V	BT3562-01: DC ±60 V BT3563-01: DC ±300 V	DC ±5 V (特殊规格可对应 DC ±20 V)	DC ±60 V		
接地最大额定电压	DC ±1000 V	BT3562-01: DC ±70 V BT3563-01: DC ±300 V	SOURCE-H, SENSE-H: DC ±5 V SOURCE-L, SENSE-L: DC 0 V	DC ±60 V		
测量	电阻测试量程	3 mΩ	3.1000 mΩ, 0.1 μΩ, 100 mA	3.1000 mΩ, 0.1 μΩ, 100 mA	电阻 (R) 3.1000 mΩ, 1 μΩ, 160 mA 31.00 mΩ, 10 μΩ, 160 mA 310.0 mΩ, 100 μΩ, 16 mA 3.100 Ω, 1 mΩ, 16 mA 31.00 Ω, 10 mA, 1.6 mA ±1.0% rdg ±8 dgt (3 mΩ 量程) ±0.8% rdg ±6 dgt (30 mΩ 量程以上) 电压 (V) 6.000 V, 1 mV 60.00 V, 10 mV 「基本精度」 ±0.08% rdg ±6 dgt 温度 (°C) -10.0°C ~ 60.0°C, 0.1°C	
		30 mΩ	31.000 mΩ, 1 μΩ, 100 mA	31.000 mΩ, 1 μΩ, 100 mA		
		300 mΩ	310.00 mΩ, 10 μΩ, 10 mA	310.00 mΩ, 10 μΩ, 10 mA		
		3 Ω	3.1000 Ω, 100 μΩ, 1 mA	3.1000 Ω, 100 μΩ, 1 mA		
		30 Ω	31.000 Ω, 1 mΩ, 100 μA	31.000 Ω, 1 mΩ, 100 μA		
		300 Ω	310.00 Ω, 10 mΩ, 10 μA	310.00 Ω, 10 mΩ, 10 μA		
	电压测试量程	基本精度	3 kΩ	3.1000 kΩ, 100 mΩ, 10 μA		3.1000 kΩ, 100 mΩ, 10 μA
			6 V	—		6.000 00 V, 10 μV
			10 V	9.999 99 V, 10 μV		—
			60 V	—		60.000 0 V, 100 μV
100 V	99.999 9 V, 100 μV	—	—			
300 V	—	300.000 V, 1 mV (仅BT3563-01)	—			
1000 V	1100.00 V, 1 mV ^{*9}	—	—			
基本精度	±0.01% rdg ±3 dgt ^{*8}	±0.01% rdg ±3 dgt	±5.10000 V, 10 μV 「基本精度」±0.0035% rdg ±5 dgt 「采样时间」 FAST, MEDIUM, SLOW 0.1 s, 0.4 s, 1.0 s 温度 (°C) -10.0°C ~ 60.0°C, 0.1°C 回路电阻允许范围 ^{*10} (错误检测) 3 mΩ, 10 mΩ, 100 mΩ SENSE 端: 10 Ω, 15 Ω, 50 Ω SOURCE 端: 1.5 Ω, 4 Ω, 45 Ω			
测量响应时间 ^{*1}	700 ms	10 ms	—			
采样时间 ^{*2}	Ω 或 V	—, 12 ms, 35 ms, 253 ms	4 ms, 12 ms, 35 ms, 150 ms	—		
EX.FAST, FAST, MEDIUM, SLOW	ΩV	—, 28 ms, 74 ms, 359 ms	8 ms, 24 ms, 70 ms, 253 ms	100 ms		
回路电阻的允许范围 ^{*10} (错误检测)	SENSE 部分	3 Ω, 3 Ω, 20 Ω, 20 Ω	2 Ω, 2 Ω, 15 Ω, 15 Ω	—		
量程: 3 mΩ, 30 mΩ, 300 mΩ, 3 Ω	SOURCE 部分	3 Ω, 3 Ω, 20 Ω, 200 Ω	2 Ω, 2 Ω, 15 Ω, 150 Ω	—		
开路端子电压	25 V, 7 V, 4 V peak	25 V, 7 V, 4 V peak	—	5 V max		
量程: 30 mΩ 以下, 300 mΩ, 3 Ω 以上	—	—	—	—		
接口	LAN (TCP/IP, 10BASE-T/100BASE-TX)	—	—	—		
	RS-232C ^{*4} (最大38400 bps)	○	○	○		
	USB	—	—	○		
	GP-IB	○	○	—		
	EXT I/O (37-pin Handler interface)	○	○	○		
功能	模拟输出 (DC 0 V ~ 3.1 V)	○	○	—		
	接触检查	○	○	○		
	调零 (范围: ±1000)	○	○	○ ^{*10}		
	脉冲测试功能	○	○	○		
	比较器	Hi/ IN/ Lo	Hi/ IN/ Lo	Hi/ IN/ Lo		
	统计运算	最多 30,000 组数据	最多 30,000 组数据	—		
	显示功能	○	○	○		
	平均功能	2 ~ 16 次	2 ~ 16 次	1 ~ 99 次		
	设定保存 (屏幕保存)	126 组	126 组	126 组		
	保存功能	400 个	400 个	—		
可对应 LabVIEW [®] 驱动 ^{*5}	—	○	○			
适用标准	安全性: EN61010 EMC: EN61326 Class A	安全性: EN61010 EMC: EN61326 Class A	安全性: EN61010 EMC: EN61326 Class A	安全性: EN61010 EMC: EN61326-1		
放射性无线频率电磁场的影响	适用 ^{*6}	适用 ^{*6}	适用 ^{*6}	适用 (3 V/m)		
传导性无线频率电磁场的影响	10 V	—	—	—		
	3 V	适用	适用	—		
可对应 CE	○	○	○	○		
可对应 CSA ^{*7}	—	○	—	—		
尺寸 • 重量	215W × 80H × 329D mm 2.6 kg	215W × 80H × 295D mm 2.4 kg	330W × 80H × 293D mm 3.7 kg	199W × 132H × 60.6D mm 960 g		

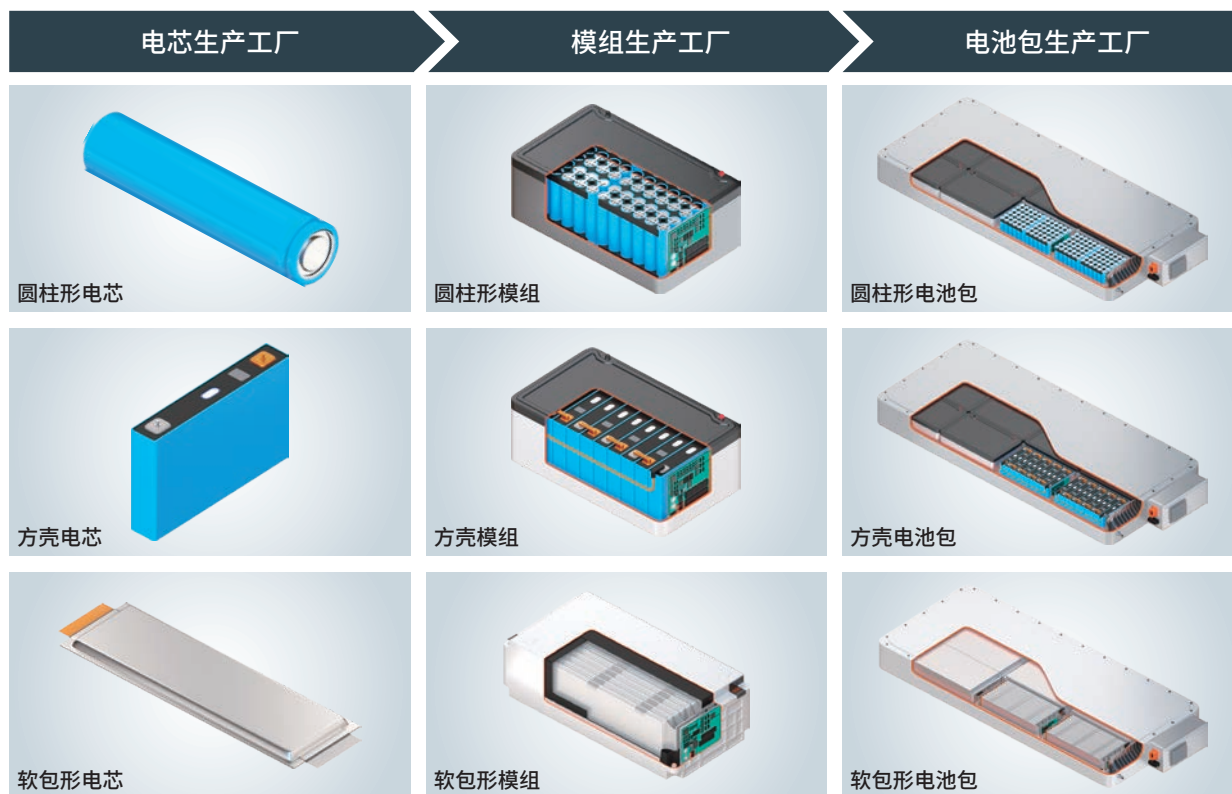
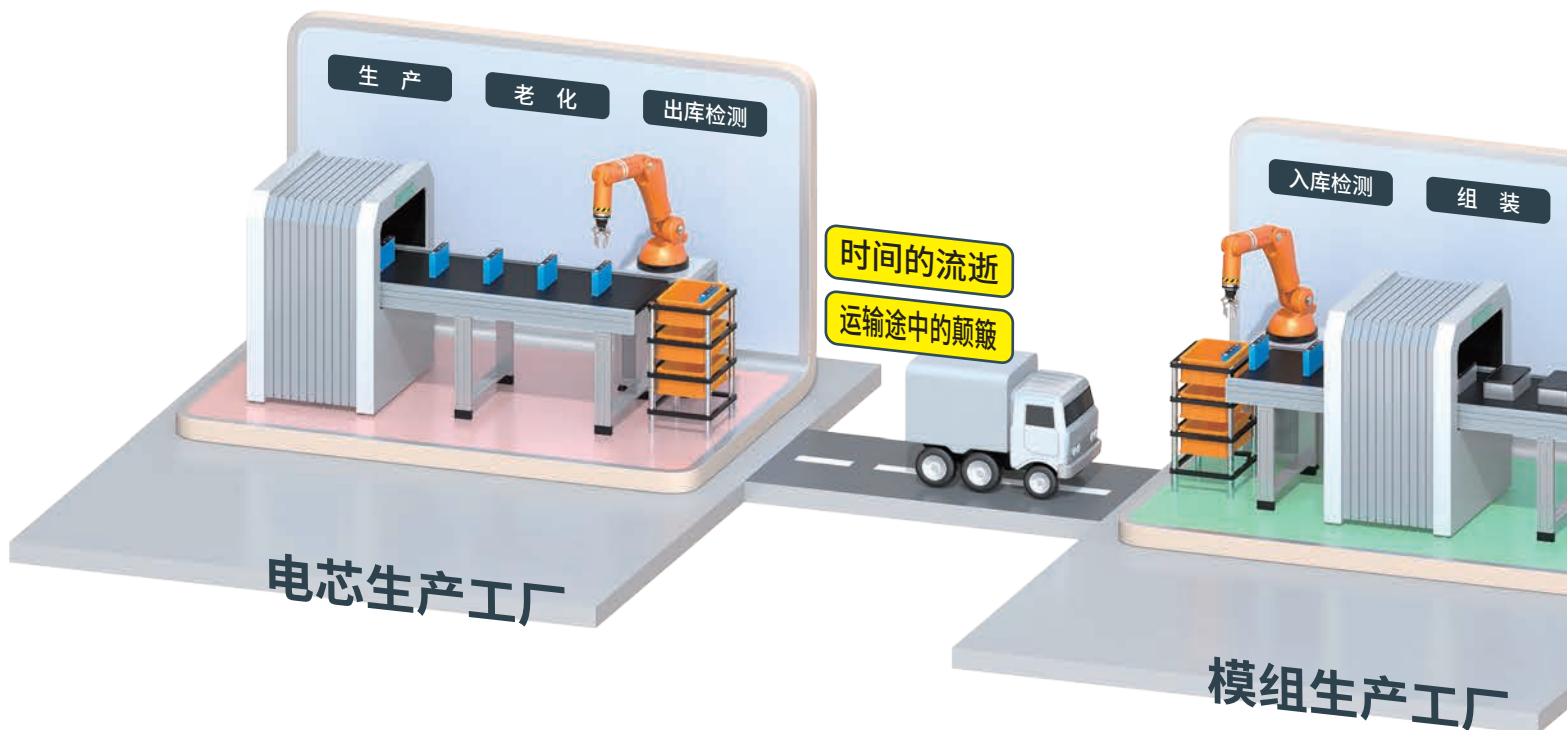
*8: 平均功能: ON 4 次 设定时 *9: 1000.00 V 以上分辨率 10 mV

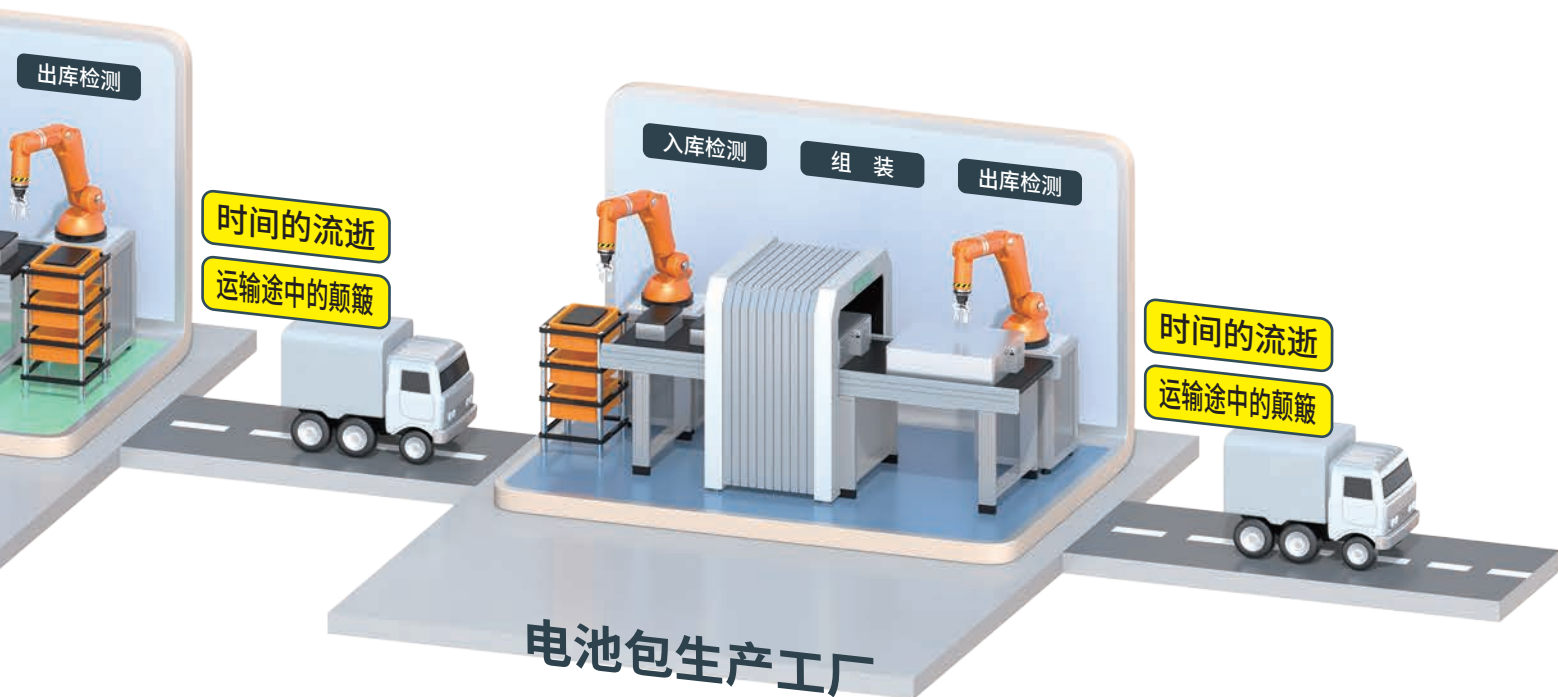
*10: 调零范围 R: ±0.1000 mΩ (3 mΩ 量程), ±0.3000 mΩ (10 mΩ 量程), ±3.000 mΩ (100 mΩ 量程), X: ±1.5000 mΩ (全量程通用), V: ±0.10000 V

入库检测 / 出库检测

3561, 3561-01, BT3561A, BT3562A, BT3563A, BT3564, BT3562-01, BT3563-01, BT4560

测量电池性能和安全性





通过测量内阻 (AC-IR) 与开路电压 (OCV) 来确认电池的性能和安全性。

为了生产出安全性高、性能卓越的电池，生产工序中的检测非常重要。出入库检测中，都会涉及到通过「内阻」的测量来检测电池性能、「开路电压」的测量来检测其安全性。

回应客户以下的需求

生产出稳定性高、性能卓越的电池

生产出安全性高的电池

电芯电池到电池包的集成工程

在电芯生产工厂生产的电芯、通过出库检测后，被送到模组生产工厂。随着时间的流逝以及在运输途中的颠簸，会引起不良的发生。通过入库检测后，再集成电池模组或者电池包。

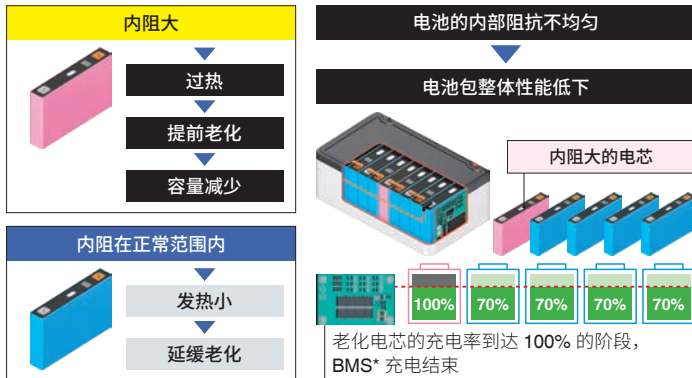
入库检测 / 出库检测

3561, 3561-01, BT3561A, BT3562A, BT3563A, BT3564, BT3562-01, BT3563-01, BT4560

测量电池性能和安全性

生产出性能稳定的电池

解说 电池品质和内阻 (AC-IR)



内阻和电池电芯的容量低下

内阻大的电池电芯容易发生过热、提前老化。老化和电芯容量低下将使内阻增大。内阻随着时间的流逝和运输途中的颠簸而发生变化。因此每次在出库时和入库时都要进行检测，将内阻大的电芯剔除。

内阻和电池包的性能

电池包内的各电芯的内阻一致性非常重要。一旦电芯的内阻大或老化程度高，那么整个电池包的容量都会受到限制。特别是老化后、容量下降的电芯通过 BMS* 控制功能来防止其过充电和过放电，整个电池包的性能急速下降。挑选出相同的内部阻抗、老化程度一样的电芯，将提高电池包的品质。

■ 老化程度将决定电池容量
■ 电池容量 ■ 充电量 % 充电率

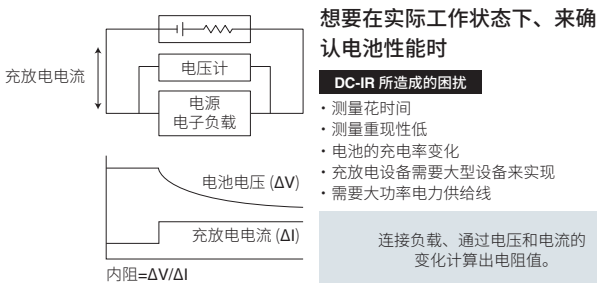
*BMS: Battery Management System

内阻测量 (AC-IR 测量)

3561, 3561-01, BT3561A, BT3562A, BT3563A, BT3564, BT3562-01, BT3563-01, BT4560

测量电池的内阻，有「交流法」「直流法」两种测试方式。交流法测量出的电阻值被称为 AC-IR、直流法测量出的电阻值被称为 DC-IR。AC-IR 与 DC-IR 是一种互补关系。虽然可根据不同的测量目的，分别使用不同的测试方法，但是这里推荐两种测量方法同时使用。HIOKI 日置的电池测试仪，通过 4 端子法来测量 AC-IR。

直流法 (DC-IR)



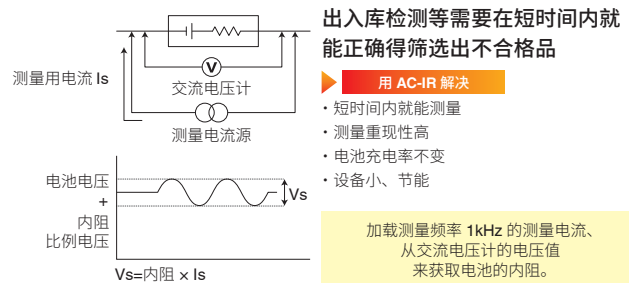
想要在实际工作状态下、来确认电池性能时

DC-IR 所造成的困扰

- 测量花时间
- 测量重现性低
- 电池的充电率变化
- 充放电设备需要大型设备来实现
- 需要大功率电力供给线

连接负载、通过电压和电流的变化计算出电阻值。

交流法 (AC-IR)



出入库检测等需要在短时间内就能正确得筛选出不合格品

用 AC-IR 解决

- 短时间内就能测量
- 测量重现性高
- 电池充电率不变
- 设备小、节能

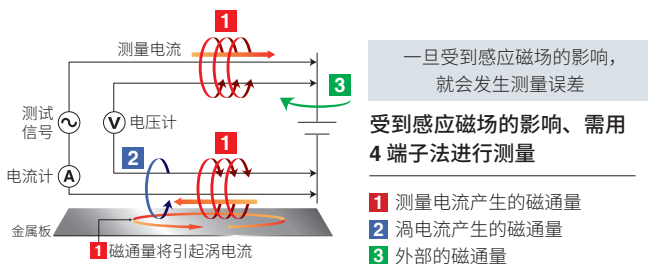
加载测量频率 1kHz 的测量电流、从交流电压计的电压值来获取电池的内阻。

LIB 的性能试验规格「JIS C8711, IEC61960-3 (小型机用)」 「JIS C8715-1, IEC 62620 (工业用)」中，记载了使用交流法 (AC-IR) 来测量内阻的相关内容。更高性能、更高安全性要求的汽车用 LIB 电芯的生产工序中，也使用交流法 (AC-IR)。

大型电池 1 mΩ 以下的低电阻值测量

BT4560

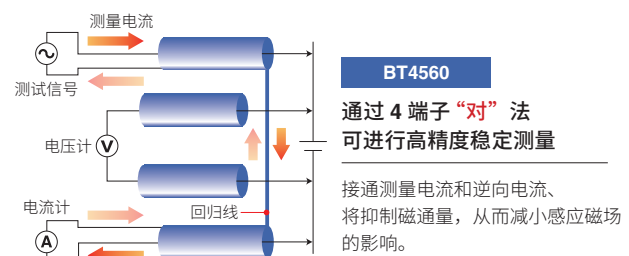
电池越大型，内阻就越小。汽车或者是基建用途的大型电池的内部阻抗有时在 1 mΩ 以下。为了能正确测量低电阻抗值，减少「感应磁场的影响」使用 BT4560 的 4 端子对的测量更适合。



一旦受到感应磁场的影响，就会发生测量误差

受到感应磁场的影响、需用 4 端子法进行测量

- 1 测量电流产生的磁通量
- 2 涡电流产生的磁通量
- 3 外部的磁通量

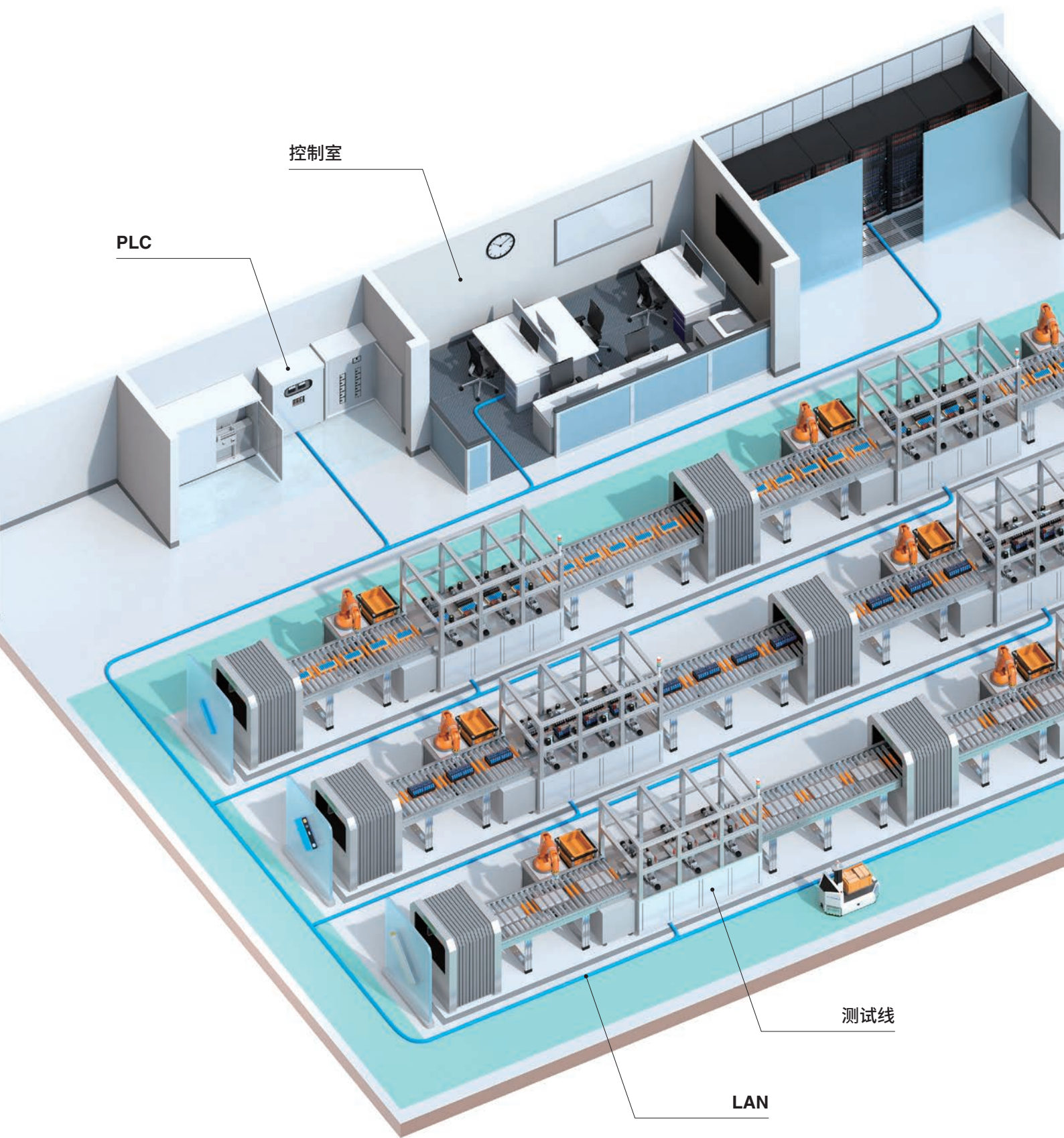


BT4560

通过 4 端子“对”法可进行高精度稳定测量

接通测量电流和逆向电流、将抑制磁通量，从而减小感应磁场的影响。

自动化产线的集成



生产成本的下降 减少停机时间和缩减检测时间

HIOKI 日置的电池测试仪可用于解决生产系统集成时的课题
「减少停机时间·缩减检测时间」及
稳定的高精度测量可同时实现

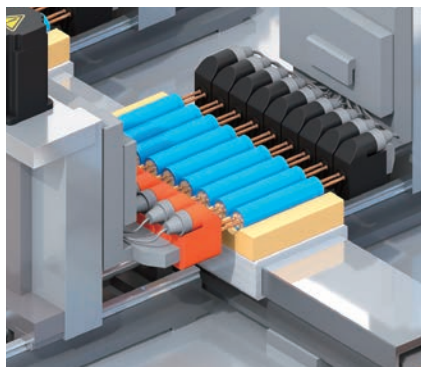
回应客户以下的需求

削减检测系统产线的构建成本·管理工时

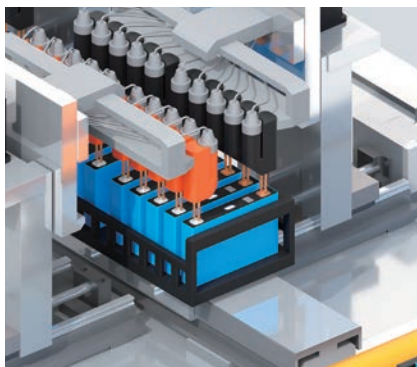
缩短检测时间、提高生产力

例如：

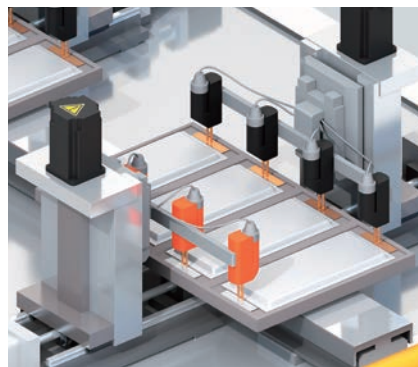
- 削减由于测量错误造成的停机时间
- 削减测量仪器故障造成的停机时间
- 延长探头交换周期
- 通过安装的继电器进行控制
- 测试线可以拉伸得更长
- 配置细测试线
- 通过 LAN 来连接 PLC 与测试线
- 同时使用多台测试仪器
- 增加检测通道数



圆柱形电芯



方壳电芯



软包形电芯

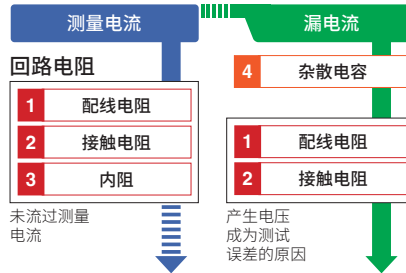
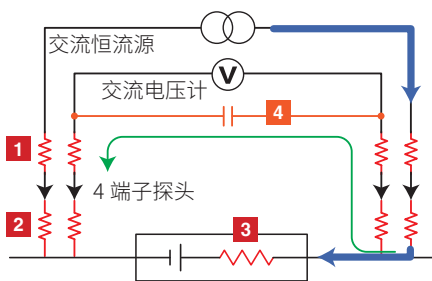
入库检测 / 出库检测

3561, 3561-01, BT3561A, BT3562A, BT3563A, BT3564, BT3562-01, BT3563-01, BT4560

集成到系统上

削减检测系统产线的构建成本·管理工时

解说 回路电阻和测量电流·回路电阻和漏电流



「回路电阻」大，会引起电流错误或测量误差，导致无法正确测量。

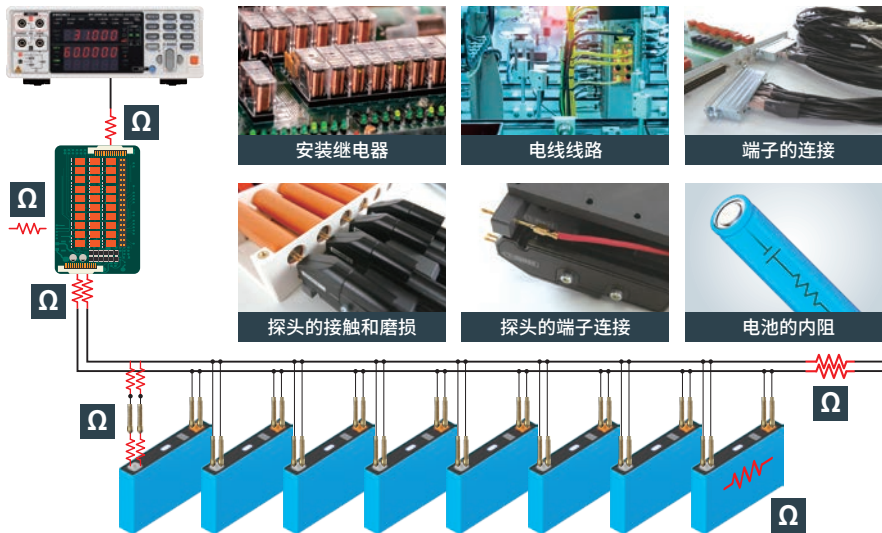
恒流错误

因未流过测量电流而发生电流错误，导致无法测量。

测量误差

由配线之间的杂散电容产生的泄漏电流流过回路电阻，从而产生引起测量误差的电压。

解说 回路电阻的原因和课题



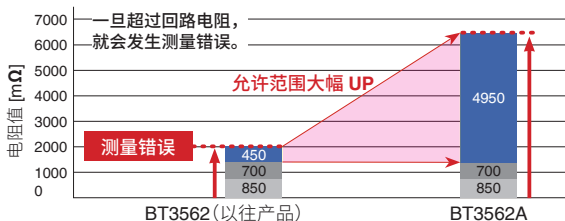
回路电阻的允许范围提升

BT3561A, BT3562A, BT3563A

BT3561A, BT3562A, BT3563A 与以往产品相比，回路电阻允许范围大幅改善。使用继电器的多通道检测系统的构建变得非常简单。此外、工作中的系统的维保周期也变长，削减了管理工时。

此外、与以往产品相比、配线更细³，线缆处理更加方便。

(量程 3 mΩ, 30 mΩ 档的 SENSE 端)



- 发生测量错误与阈值的偏差
- 继电器线路引起的回路电阻 (使用 SW1001+SW9001)
- 测试线 4m 的回路电阻 (使用 AWG25 线)

通过提高允许范围所能解决的课题

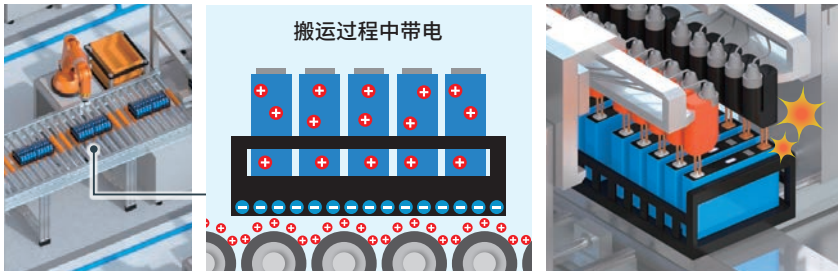
- 继电器选择项的增加
- 可使用长测试线³
- 可使用细测试线³
- 减少探头的交换次数

型号	3561, 3561-01			BT3561A			BT3562A, BT3563A				BT3562-01, BT3563-01, BT3564					
	3 mΩ	30 mΩ	300 mΩ	3 Ω	3 mΩ	30 mΩ	300 mΩ	3 Ω	3 mΩ	30 mΩ	300 mΩ	3 Ω	3 mΩ	30 mΩ	300 mΩ	3 Ω
测量电流	—	—	10 mA	1 mA	—	100 mA	10 mA	1 mA	100 mA	100 mA	10 mA	1 mA	100 mA	100 mA	10 mA	1 mA
回路电阻的允许范围 (错误检出) ^{*1, *2}	SENSE 端			20 Ω	20 Ω	6.5 Ω	30 Ω	30 Ω	6.5 Ω	6.5 Ω	30 Ω	30 Ω	2 Ω	2 Ω	15 Ω	15 Ω
	SOURCE 端			50 Ω	500 Ω	5.5 Ω	15 Ω	150 Ω	5.5 Ω	5.5 Ω	15 Ω	150 Ω	2 Ω	2 Ω	15 Ω	150 Ω

*1: 参考值 *2: 回路电阻 = (配线电阻 + 接触电阻 + 被测物电阻) *3: 30 mΩ 量程、往返距离 8 m 时，可以使用相当于 2.2 Ω 的 AWG29。

防止静电引起的测量仪器的故障

BT3561A, BT3562A, BT3563A



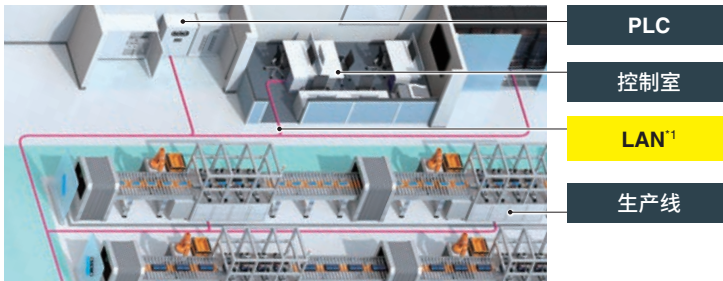
在生产线上，电池在传送带等上传输时会带电。电池与探头接触的话，会引起测量仪器带电、导致故障发生。

BT356xA 系列的设计可以允许接触 ± 30 kV 的静电*。防止由于静电而造成的故障，减少生产线的停机时间。

* ± 30 kV IEC 61000-4-2 接触放电

标配 LAN

BT3561A, BT3562A, BT3563A



BT356xA 系列标配 LAN 接口。与 PLC*2 控制系统的连接变得更为方便。因为能够使用较为容易入手的 LAN 网线，无论在系统搭建时、还是在维保时，都能实现成本的削减。此外，产品设计更具有抗干扰性和耐静电性，从而避免了系统故障。

*1: 最大 30 m

*2: Programmable Logic Controller, 自动控制系统

接触检测

3561, 3561-01, BT3561A, BT3562A, BT3563A, BT3564, BT3562-01, BT3563-01, BT4560

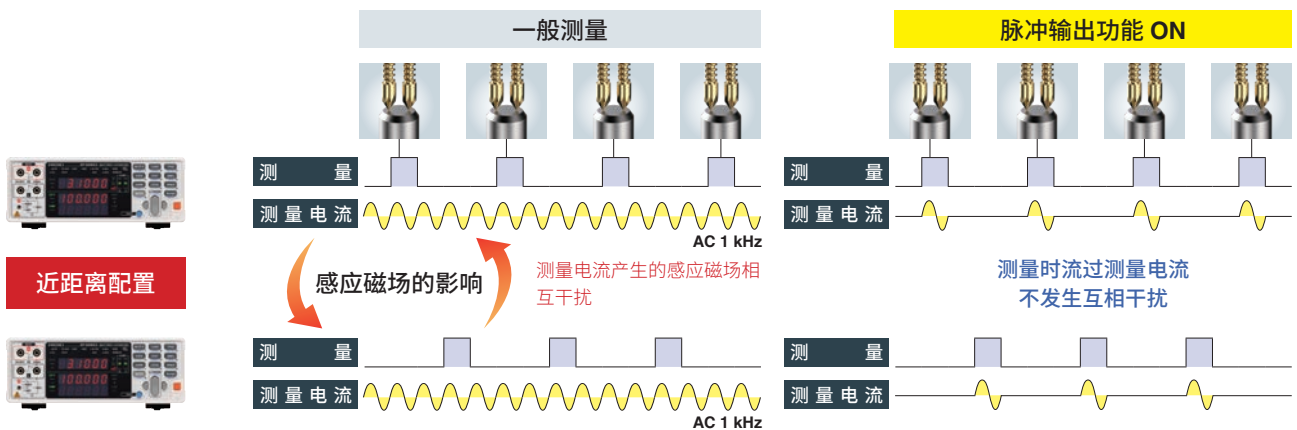


为了确保正确的测量，精准的探针下压必不可少。HIOKI 日置的电池测试仪，搭载了监视探头接触状态的功能，检测结果信赖度高。

多台测量仪器同时使用

BT3561A, BT3562A, BT3563A, BT3564, BT3562-01, BT3563-01, BT4560

电池测试仪如果数台同时使用，所产生的感应磁场会互相干扰，发生测量误差。因为测量电流一直在流通，即便测量时间不交互，也会互相干扰。脉冲输出功能使测量电流只有在测量时才会通过。使用脉冲输出功能，交互测试时将不受测量电流的感应磁场的干扰，就能进行测量。



近距离配置

入库检测 / 出库检测

3561, 3561-01, BT3561A, BT3562A, BT3563A, BT3564, BT3562-01, BT3563-01, BT4560

系统集成

缩短检测时间、提高生产力

增加测量通道、自动切换

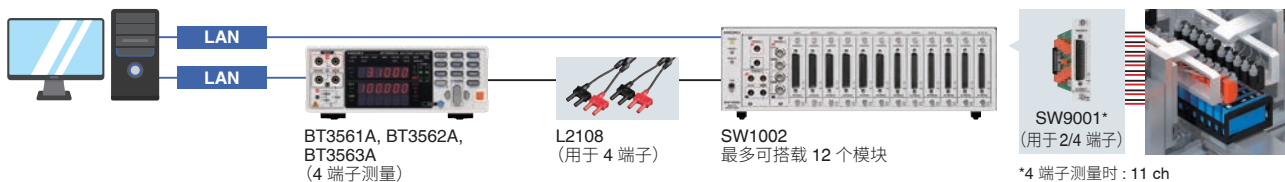
3561, 3561-01, BT3561A, BT3562A, BT3563A, BT3564, BT3562-01, BT3563-01, BT4560

使用扫描模块机架 SW1001、SW1002，可增加测量通道数。

此外，「BT356xA 系列与 DM7276」、「BT4560 与 DM7276」等、2 种测量仪器可以组合控制进行扫描测量。

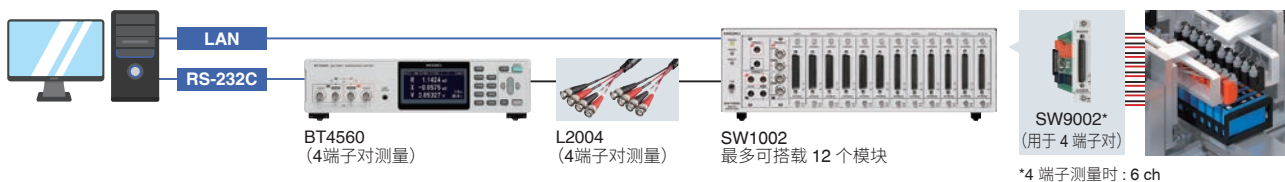
BT3561A, BT3562A, BT3563A 132 ch

AC-IR 测量 (1 kHz), OCV 测量



BT4560 72 ch

AC-IR 测量 (频率扫描), OCV 测量



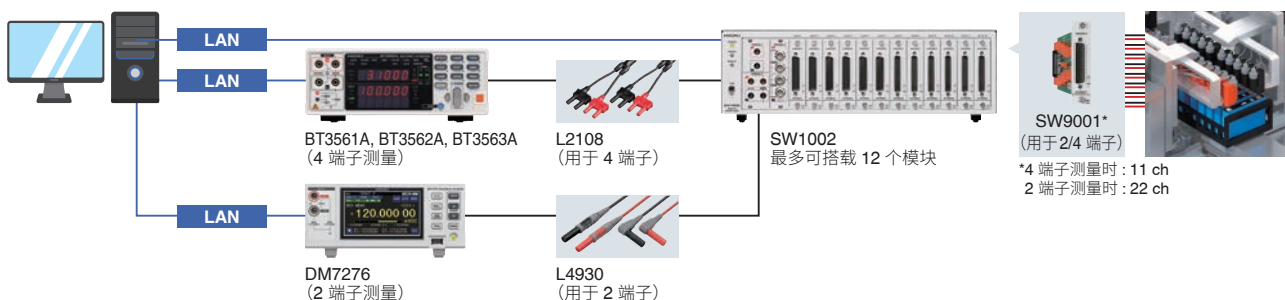
DM7276 264 ch

高精度 OCV 测量, 搭载温度补偿功能



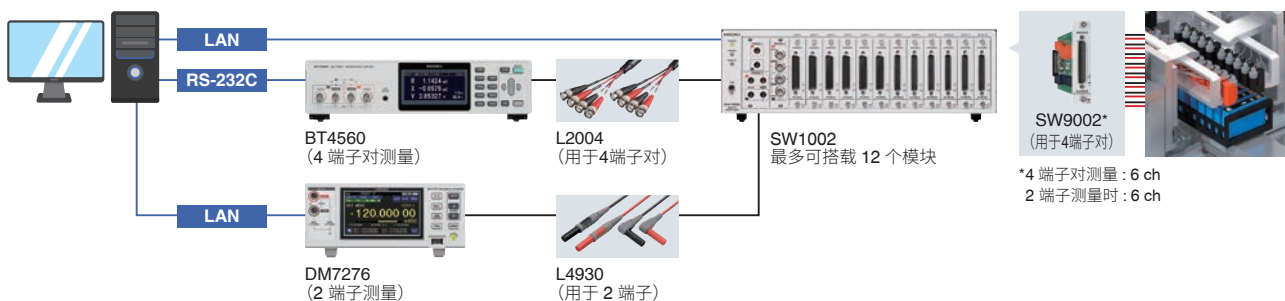
2 台切换测试

AC-IR 测量 (1 kHz) • 高精度 OCV 测量, 搭载温度补偿功能



2 台切换测试

高精度 AC-IR 测量 • 高精度 OCV 测量, 搭载温度补充功能



「多通道检测的构成范例」

测试仪器	使用台数	AC-IR 测量 1 kHz	AC-IR 测量 频率扫频	OCV 测量	高精度 OCV 测量 温度补偿功能	连接线	扫描主机	模块	最大通道数
BT3561A	1 台	○	—	○	—	L2108	SW1002	SW9001	132 ch
BT3562A									
BT3563A									
BT4560	1 台	○	○	○	—	L2004	SW1002	SW9002	72 ch
DM7276	1 台	—	—	—	○	L4930	SW1002	SW9001	264 ch
BT356xA	2 台	○	—	○	—	L2108	SW1002 测量交替	SW9001	132 ch
DM7276	交替使用	—	—	—	○	L4930			
BT4560	2 台	○	○	○	—	L2004	SW1002 测量交替	SW9002	72 ch
DM7276	交替使用	—	—	—	○	L4930			



BT3561A (4 端子)
BT3562A (4 端子)
BT3563A (4 端子)

L2108 (4 端子)



BT4560
(4 端子对)

L2004 (4 端子对)



DM7276
(2 端子)

L4930 (2 端子)

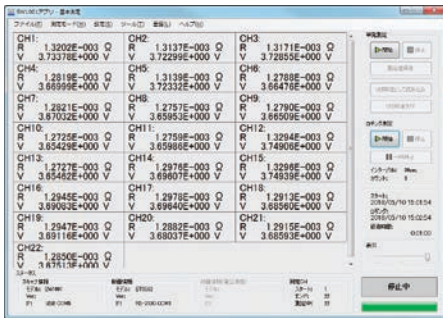


SW1002 SW1001 SW9001 SW9002

SW1002: SW9001 或 SW9002 可搭载 12 个模块
SW1001: SW9001 或 SW9002 可搭载 3 个模块
SW9001 (用于 2 端子, 用于 4 端子), SW9002 (用于 4 端子对)

通过专用的 PC 应用软件记录 *

3561, 3561-01, BT3561A, BT3562A, BT3563A, BT3564, BT3562-01, BT3563-01, BT4560, DM7276



记录功能 (可设定间隔 1 秒 ~60 分)



多通道 Cole-Cole Plot

记录功能

可实现最多 264ch 的记录测量

OCV 测量功能

除基本的电压测量外、在电压测量的基础上、可记录初始的电压和变化率。

多通道 Cole-Cole Plot

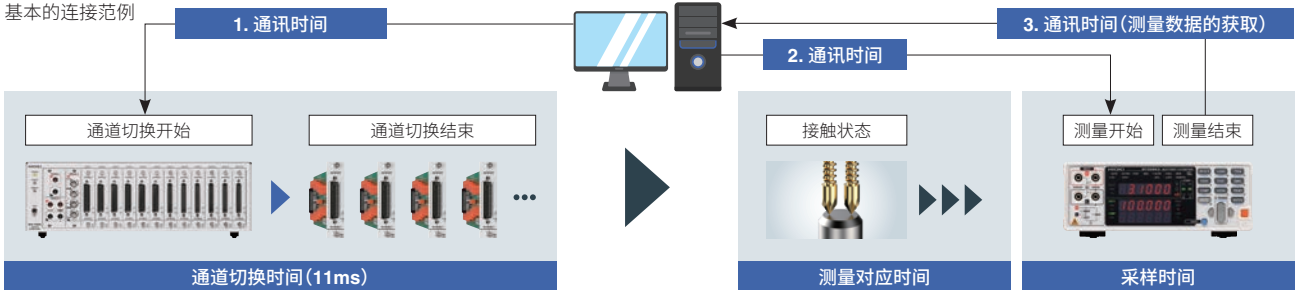
最多可对应 72 ch, 在测量频率变化的同时, 可测量变频器, 以 Cole-Cole Plot 的形式显示。

*SW1001, SW1002 专用的 PC 应用软件

测量时间范例

3561, 3561-01, BT3561A, BT3562A, BT3563A, BT3564, BT3562-01, BT3563-01, BT4560, DM7276

基本的连接范例

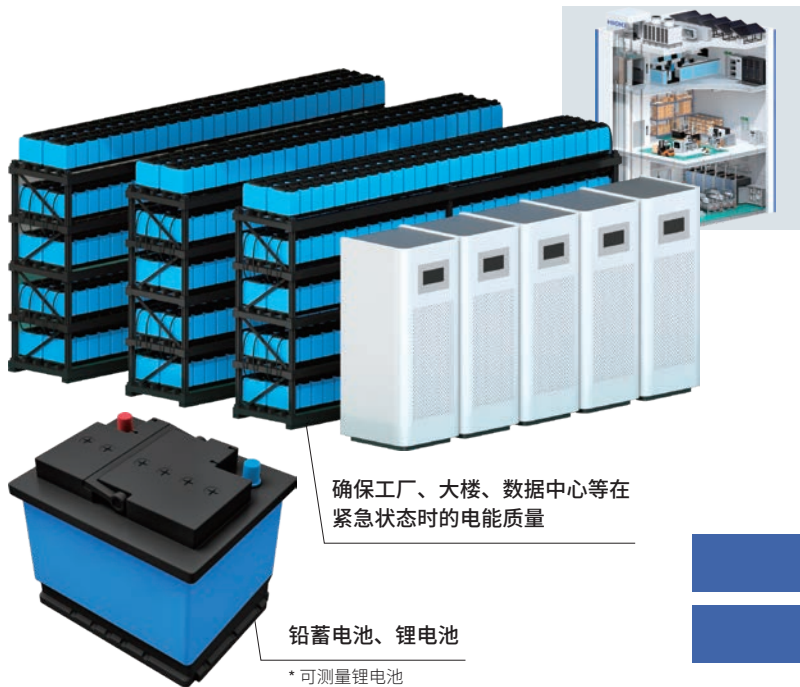


工序时间的计算 合计时间 = (通讯时间 + 通道切换时间 + 测量响应时间 + 采样时间) × 通道数

测量仪器	模块	通道数	功能	测试速度	测量响应时间	合计时间(全通道)	条件
BT3562A	SW9001	11	ΩV	EX. FAST	10 ms	0.45 s 约 41 ms/ch	BT3562A 与 RS-232C (38400bps) 通讯
		11		MEDIUM	10 ms	1.1 s 约 100 ms/ch	
BT4560	SW9002	6	RX	FAST	0 ms	1.0 s 约 167 ms/ch	BT4560 与 USB (9600bps) 通讯 测量频率 1 kHz
		6		MEDIUM	0 ms	1.2 s 约 200 ms/ch	
DM7276	SW9001	22	V	0.02 PLC	0 ms	0.45 s 约 20 ms/ch	DM7276 与 USB 通讯 接触检测 OFF
		22		FAST	0 ms	0.85 s 约 39 ms/ch	
		22		MEDIUM	0 ms	4.9 s 约 223 ms/ch	

蓄电池的老化诊断

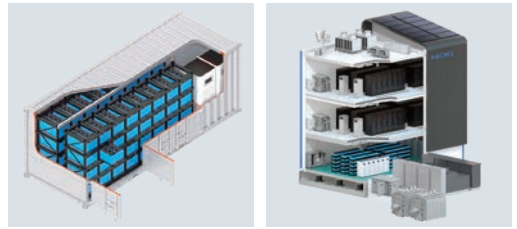
BT3554-50, BT3554-51, BT3554-52



确保工厂、大楼、数据中心等在紧急状态时的电能质量

铅蓄电池、锂电池

* 可测量锂电池



检测正在运行的 UPS 正确判断蓄电池的老化情况

通过测量电池的内阻和电压
来判定电池是否存在老化

回应客户以下的需求

检测正在运行的 UPS 的电池老化情况

更高效地进行庞大的检测作业

更高效得进行庞大的检测作业

BT3554-50

像 UPS 这样庞大数量的电池，使用免费专用软件 GENNECT Cross，就能实现高效巡检。

GENNECT Cross



事先登记现场信息



作为预设信息登录

- 位置信息：办公室大楼东栋
- 设备信息：服务器用 UPS
- 电池编号：1~500



登记

读取

BT3554-50 最多可以存储 100 件预设信息。每件预设信息可以存储 500 条数据。
(BT3554-50 最多可以记录 6,000 条数据)
BT3554-50 预设信息的登录，可以通过手机软件 GENNECTCross，或者 PC 应用软件 GENNECT ONE。

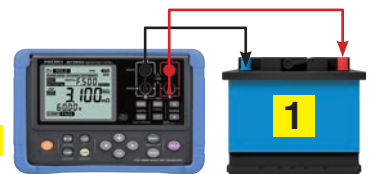
- 除了语音记录提示功能，与智能手机或平板电脑进行通讯使用的功能更需要配备选件无线适配器 Z3210。



「Next Battery Number.1」测试电池时、语音提示被测试的电池的编号



测量数据传输



「No.1 PASS」
语音提示测试结果

「Next Battery Number 2」... 「No.2 PASS」

「Next Battery Number 3」... 「No.3 PASS」

「Next Battery Number 4」... 「No.4 FAIL」

⋮

保存与预设
信息相关的测量数据。

预设文件信息	
预设文件编号	1
位置信息	办公室大楼东栋
设备信息	服务器用UPS
电池编号	1
测量数据	
存储编号	A.001
日期时间	2021/4/20 13:00:00
电阻值	●●●● mΩ
电压值	●●.●● V
温度	●●.●● °C
比较器阈值	● mΩ / ● mΩ / ● V
判定结果	PASS/WARNING/FAIL

提高作业员的工作效率

BT3554-50



轻松保存数据 只需让测试探头接触端子即可

测量值稳定后自动保持。自动保持后，测量值自动存储在内部存储器中，从而实现快速工作。

L 型测试探头 提高狭窄场所的检查效率

L2020 测试线的前端为 L 形，能轻松测量到配电柜深处的蓄电池。此外，也有前端为 I 形的针型测试线 9465-10 可供选择。

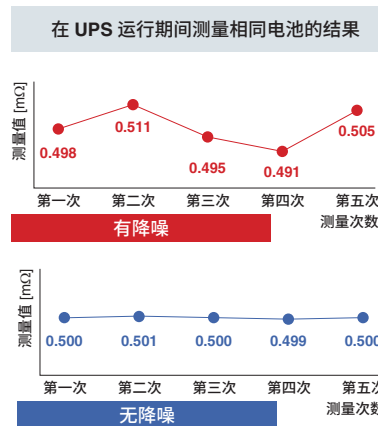
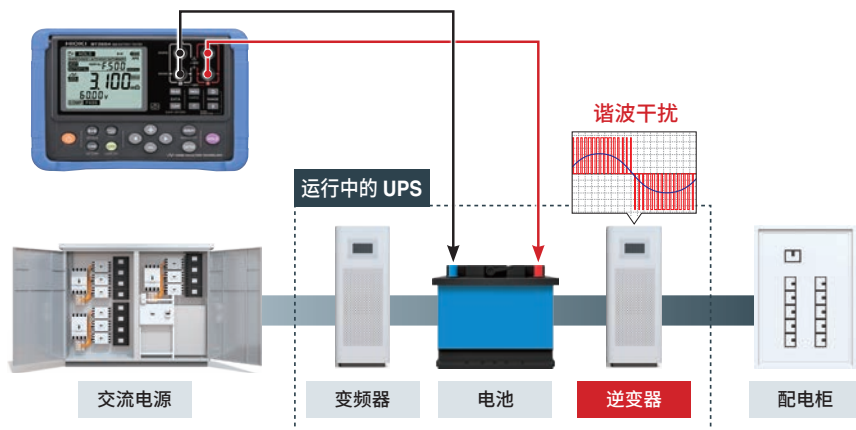
通过挂绳可将仪器挂在胸前或墙壁上 便于双手操作

标配挂绳，可在测量时携带仪器。带磁铁的 Z5020（需单独购买）可将仪器悬挂在配电柜上。

在有干扰的环境下也能准确测量

BT3554-50

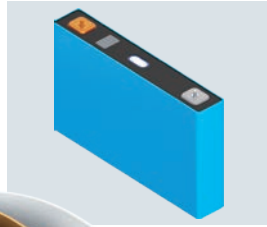
UPS 运行期间，变频器会产生谐波干扰。通常，如果测量仪器受到噪声的影响，就很难进行准确的测量。而搭载“降噪技术”的 BT3554-50，即使在变频器的干扰下也能准确测量。



产品阵容



型号	BT3554-92	BT3554-91	BT3554-52	BT3554-51	BT3554-50
	L型测试线 L2020	针型测试线 9465-10	L型测试线 L2020	针型测试线 9465-10	-
	无线适配器 Z3210	无线适配器 Z3210	-	-	-
附件	携带箱 C1014	保护壳 Z5041	调零板	挂绳	USB电缆
	GENNECT One 软件CD				5号碱性电池 (LR6) ×8 使用说明书



通过 Cole-Cole Plot 掌握电池的特性

通过分析扫频测得的阻抗的 Cole-Cole Plot, 把握电池特性。

回应客户以下的需求

扫描频率进行阻抗测量

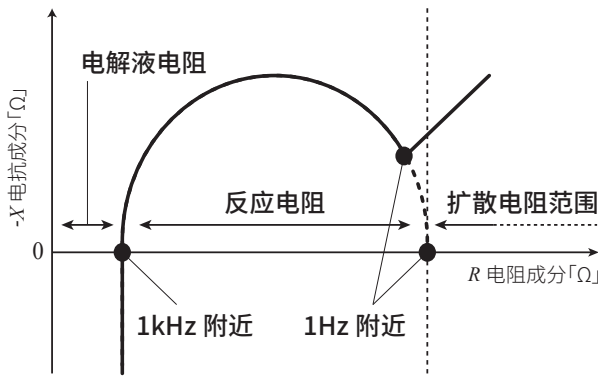
通过 Cole-Cole Plot, 把握电池特性

电池特性的把握

BT4560

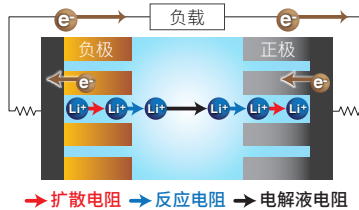
电池内部的化学反应的速度会因为过程不同而异。因此、可通过扫频测量阻抗来分别评价各部位的特性。测量数据通过 Cole-Cole Plot 来显示, 很容易实现特性的区分。

扫频测量阻抗, 绘制 Cole-Cole Plot

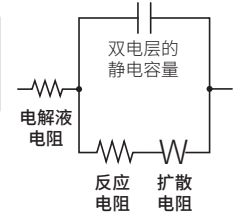


< 1 Hz	低频	离子在电极中的扩散(扩散电阻)
1 Hz ~ 数百 Hz	中间频率	电极界面的离子化学反应(反应电阻)
~ 1 kHz	高频	电解液中的离子移动(电解液电阻)

放电中的电池模式图



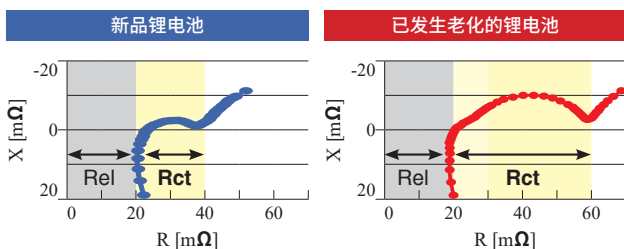
电池的等效电路



电池老化程度的确认

新的锂电池和已发生老化的锂电池, 反应电阻会有很大的区别。低温度的充放电、深度充放电(SOC:0% ⇄ 100%)之间反复操作, 电极反应部分的老化情况将反应电阻的形式、体现在图表上。

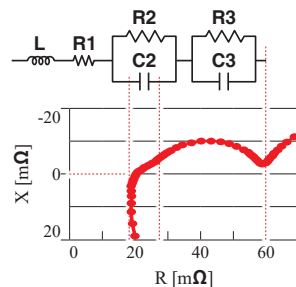
新的锂电池和已发生老化的锂电池的测量数据将通过 Cole-Cole Plot 来进行比较



Rel : 电解液电阻 Rct : 反应电阻

电池老化原因的区分解析

当配置了等效电路模型时, 可以通过使用等效电路分析软件 (ZView®)* 进行曲线拟合来获得各元件的电路常数。通过量化新品状态和老化状态的各元素的常数变化, 可以解析电池内部具体发生变化的部位, 从而就能分别解析出老化原因。



模拟等效电路的实例

R1	电解液与极耳焊接部位的电阻
R2//C2	电池内部的负极的电极反应
R3//C3	电池内部的正极的电极反应
L	导线部位等的电感

*『ZView®』的详细情况、请咨询东阳技术株式会社。

测量频率和低阻抗测量

BT4560

BT4560 适用于液态 LIB 的 Cole-Cole Plot 的频率测试。此外，还搭载了能精准测量 EV 和基础设施用的蓄电池等大型低阻抗电池的量程。IM3590 能够以更大的频率范围来测量阻抗。

型号 (规格)	测量频率	可测电池电压	阻抗测量量程
BT4560	0.01 Hz ~ 1050 Hz	5 V	3 mΩ, 10 mΩ, 100 mΩ
BT4560 特殊规格 (可测电池电压 20V)	0.01 Hz ~ 1050 Hz	20 V	30 mΩ, 300 mΩ, 3 Ω
IM3590	1 mHz ~ 200 kHz	5 V	100 mΩ ~ 100 MΩ



BT4560
电池阻抗测试仪



IM3590
化学阻抗分析仪

不附带测试探头。
请根据需要购买。
(请参考 P22、P23)

BT4560 测量精度

阻抗测量精度

3 mΩ 量程 (0.01 Hz ~ 100 Hz)
10 mΩ 量程, 100 mΩ 量程

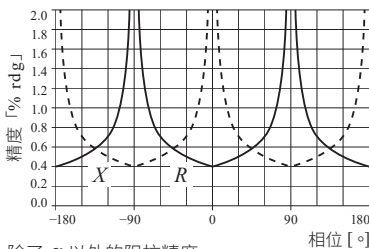
R 精度 = $\pm(0.004 |R| + 0.0017 |X|)$ [mΩ] $\pm\alpha$

X 精度 = $\pm(0.004 |X| + 0.0017 |R|)$ [mΩ] $\pm\alpha$

Z 精度 = $\pm 0.4\%$ rdg $\pm\alpha$ ($|\sin\theta| + |\cos\theta|$)

θ 精度 = $\pm 0.1^\circ \pm 57.3 \frac{\%}{\%}$ ($|\sin\theta| + |\cos\theta|$)

精度图表



除了 α 以外的阻抗精度

$(0.004 |R| + 0.0017 |X|, 0.004 |X| + 0.0017 |R|)$

3 mΩ 量程 (110 Hz ~ 1050 Hz)

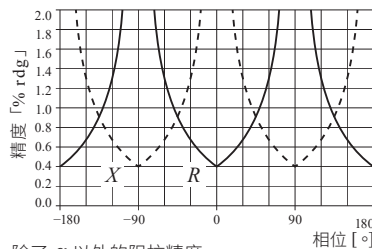
R 精度 = $\pm(0.004 |R| + 0.0052 |X|)$ [mΩ] $\pm\alpha$

X 精度 = $\pm(0.004 |X| + 0.0052 |R|)$ [mΩ] $\pm\alpha$

Z 精度 = $\pm 0.4\%$ rdg $\pm\alpha$ ($|\sin\theta| + |\cos\theta|$)

θ 精度 = $\pm 0.3^\circ \pm 57.3 \frac{\%}{\%}$ ($|\sin\theta| + |\cos\theta|$)

精度图表



除了 α 以外的阻抗精度

$(0.004 |R| + 0.0052 |X|, 0.004 |X| + 0.0052 |R|)$

R, X 的单位为「mΩ」、 α 如下表所示

量程	3 mΩ	10 mΩ	100 mΩ	
α	FAST	25 dgt	60 dgt	60 dgt
	MED	15 dgt	30 dgt	30 dgt
	SLOW	8 dgt	15 dgt	15 dgt
温度系数	$R: \pm R$ 精度 $\times 0.1 / ^\circ\text{C}$, $X: \pm X$ 精度 $\times 0.1 / ^\circ\text{C}$, $Z: \pm Z$ 精度 $\times 0.1 / ^\circ\text{C}$, $\theta: \pm \theta$ 精度 $\times 0.1 / ^\circ\text{C}$ (适用于 $0^\circ\text{C} \sim 18^\circ\text{C}$, $28^\circ\text{C} \sim 40^\circ\text{C}$ 用)			

测量周波数

	FAST	MED	SLOW
0.10 Hz ~ 66 Hz	1 周波	2 周波	8 周波
67 Hz ~ 250 Hz	2 周波	8 周波	32 周波
260 Hz ~ 1050 Hz	8 周波	32 周波	128 周波

电压测量精度 (自行校准时)

V	显示范围	- 5.10000 V ~ 5.10000 V
	分辨率	10 μV
电压精度	FAST/MED/SLOW	$\pm 0.0035\%$ rdg ± 5 dgt
温度系数	适用于 $\pm 0.0005\%$ rdg ± 1 dgt / $^\circ\text{C}$ $0^\circ\text{C} \sim 18^\circ\text{C}$, $28^\circ\text{C} \sim 40^\circ\text{C}$	

温度测量精度 (BT4560 + 温度传感器 Z2005)

精度	测量温度 $10.0^\circ\text{C} \sim 40.0^\circ\text{C}$: $\pm 0.5^\circ\text{C}$
	测量温度 $- 10.0^\circ\text{C} \sim 9.9^\circ\text{C}$, $40.1^\circ\text{C} \sim 60.0^\circ\text{C}$: 1.0°C
温度系数	温度系数 : $\pm 0.01^\circ\text{C} / ^\circ\text{C}$ 仪器温度 : $0^\circ\text{C} \sim 18^\circ\text{C}$, 适用于 $28^\circ\text{C} \sim 40^\circ\text{C}$

燃料电池的内阻测量

BT3563-01 (特殊规格), BT3564 (特殊规格)

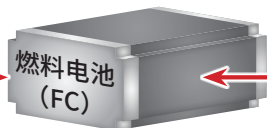
BT3563-01 特殊规格和 BT3564 特殊规格提高了抗干扰性能, 可减少负载装置带来的干扰影响。

可以通过 1kHz 测量频率的阻抗掌握燃料电池的状态。

在减去负载的状态下实时把握 FC 特性



模拟燃料电池的负载



燃料电池
(FC)



燃料电池的内阻测量

BT3563-01 (特殊规格)
或
BT3564 (特殊规格)

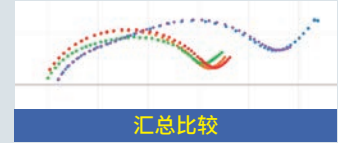


WEB 应用软件「Multi-plot」 把测量数据转换为 Cole-Cole Plot

访问以下网页：
<https://www.circuitfitting.cn/multiplot>



免费的 WEB 应用软件「Multi-plot」，
只需在浏览器上读入文件就可以绘制 Cole-Cole Plot。
支持文件：CSV 文件格式，ZView®*(.z)文件格式



从文件中获取信息、绘制点数以及叠加的图表数没有上限，可任意生成 Cole-Cole Plot。结合绘制的图表、纵轴和横轴的刻度会自动调整。从不同的测量仪器中获取的文件可叠加绘制、进行比较分析。

读取文件、叠加绘制 Cole-Cole Plot

(不同测量仪器获取的文件可叠加写入)

+ Add impedance data

BT4560.csv

IM3590.csv

PW6001.csv

+ Add impedance data

BT4560.csv

IM3590.csv

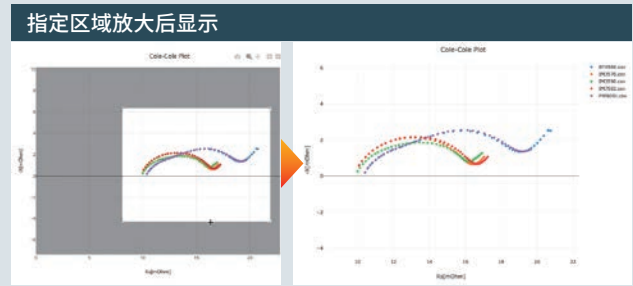
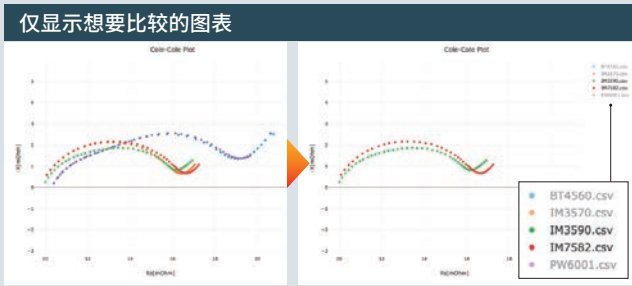
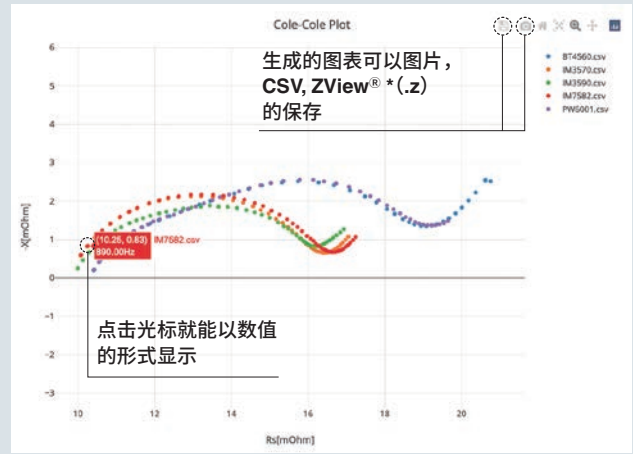
PW6001.csv

+ Add impedance data

BT4560.csv

IM3590.csv

PW6001.csv



解析功能

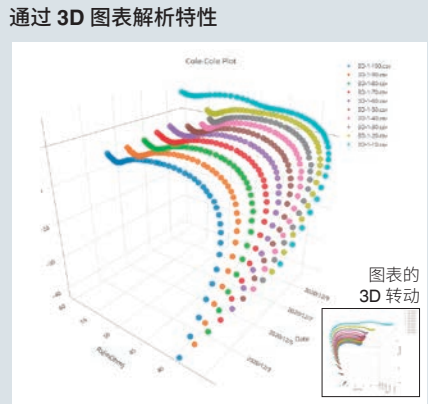
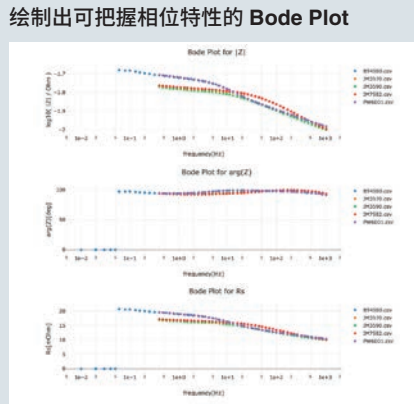
自动显示等效电路的解析结果

Model :

$$R0 - (L3/R3) - (CPE1/R1) - (CPE2/R2) - W1$$

rmse_score[Ohm] : 6.93e-5
 R0[Ohm] : 9.17e-3
 L3[H] : 1.07e-7
 R3[Ohm] : 1.00e+1
 CPE1_Q[Ohm^-1 sec^p] : 3.25e+0
 CPE1_p[] : 6.01e-1
 R1[Ohm] : 7.57e-3
 CPE2_Q[Ohm^-1 sec^p] : 3.35e+2
 CPE2_p[] : 1.00e+0
 R2[Ohm] : 3.13e-3
 W1_R[Ohm] : 1.98e-5
 W1_T[sec] : 5.00e+0

$$Z_{CPE} = \frac{1}{(j2\pi f)^p Q}$$

$$Z_W = \frac{R}{\sqrt{j2\pi f T}}$$


使用被定义的模式，解析电池电阻。只需读取文件，就能自动显示解析结果。

可同时绘制 Cole-Cole Plot 和 Bode Plot。根据 Bode Plot，可把握相位特性。

「时间」「日期」作为第三轴，可绘制出 Cole-Cole Plot 和 Bode Plot。可任意转动 3D 图表进行确认，并可输出图片。

各种电池的内阻·开路电压和相对应测量仪器

电池测试仪电压测试量程	BT3564 量程构成 10 V 100 V 1000 V	1000 V	 EV 巴士 800 V-1000 V, < 0.2 mΩ				
	BT3563A BT3563-01 量程构成 6 V 60 V 300 V	400 V	 家用蓄电池 200 V-400 V, 0.3 mΩ - 1 mΩ	 EV 乘用车 200 V-400 V, 0.3 mΩ - 1 mΩ			
		230 V					
	BT3562A 量程构成 6 V 60 V 100 V	96 V	 叉车 72 V-96 V, < 1 mΩ	 电动摩托车 48 V-96 V, < 10 mΩ	 电动三轮车 48 V-96 V, < 10 mΩ		
	BT3562-01 BT3561A 量程构成 6 V 60 V	48 V	 5G 基站 24 V-48 V, < 10 mΩ	 自动搬运机器人 24 V-48 V, < 10 mΩ	 大型无人机 24 V-48 V, < 10 mΩ		
		24 V	电动工具 12 V-24 V, < 10 mΩ	 吸尘器 12 V-24 V, < 10 mΩ	 电动自行车 电动助动车 24 V, < 10 mΩ		
	3561 3561-01 BT4560* * 特殊规格	12 V	 笔记本电脑 7 V-12 V, < 100 mΩ				
		3.7 V	平板设备 3.7 V, < 10 mΩ	 智能手机 3.7 V, < 100 mΩ	 智能手表 3.7 V, < 300 mΩ	 纽扣电池, 全固态电芯 3.7 V, < 1 Ω	
	BT4560 量程构成 5 V	3.7 V					
			0.1 mΩ 1 mΩ 10 mΩ 100 mΩ 1 Ω	电池电芯的内阻			
		3 mΩ 测量电流 1.5 A	3 mΩ 100 mA	30 mΩ 100 mA	300 mΩ 10 mA	3 Ω - 3 kΩ 1 mA - 10 μA	
		BT4560	BT3562A, BT3563A, BT3564, BT3562-01, BT3563-01 (3561, 3561-01: 300 mΩ, 3 Ω range) (BT3561A: 30 mΩ - 3 kΩ range)				
电池测试仪电阻测试量程							

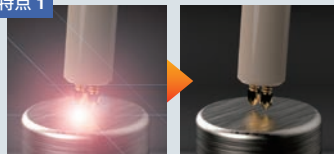
安全检测高电压电池包



BT3564
最大输入电压
1000 V

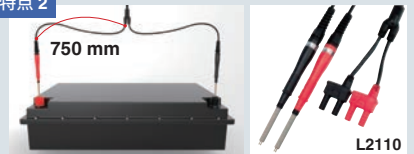
BT3564 在 EV 或基础设施等使用的蓄电池实现高电压电池包的安全检测。

特点 1



在接触电池包的瞬间、限制电流的流通，减少发生在高压测试中引起的火花放电事件的概率。

特点 2



BT3564 专用探头 L2110 (选件) 可进行 1000V 的耐压安全测试。端子之间的距离可对应宽电池。

测试线及测试探头对应表

○：指定的测试线或测试探头。

×：无法连接，因此无法使用。

*1：可以连接，但可能有无法保证精度等规格的情况。

*2：容易受到外来干扰的影响。特别是测量电流在 10mA 以下时需要特别注意。

*3：可通过 BNC-香蕉头转换器连接（可特殊订制）。
为了能够抑制外来干扰影响，请将黑色香蕉头连接至 Hcur 和 Hpot 端子侧。

*4：无法连接温度传感器。

*5：由于不是 4 端子对的结构构造，根据配线形状、对测量值的影响会更大。

*6：受到额定电流的限制，存在无法使用的测量量程。

	外观	尺寸 ¹	型号·耐压	3561 3561-01	BT3561A BT3562A BT3563A	BT3562-01 BT3563-01 BT3564	BT4560	BT3554-50
Clips			9467 60 V DC (Hi-Lo 之间) 60 V DC (接地)	○	○	○	*1 *2 *3 *5	○
Clips			9460 60 V DC (Hi-Lo 之间) 60 V DC (接地)	*1 *4	*1 *4	*1 *4	*1 *2 *3 *5	○
Clips			L2000 ±42 V peak AC+DC (Hi-Lo 之间) ±42 V peak AC+DC (接地)	×	×	×	*1 *6	×
Clips			L2002 ±30 V peak AC+DC (Hi-Lo 之间) ±30 V peak AC+DC (接地)	×	×	×	○	×
Pins			L2003 ±30 V peak AC+DC (Hi-Lo 之间) ±30 V peak AC+DC (接地)	×	×	×	○	×
Clips			L2107 60 V DC (Hi-Lo 之间) 60 V DC (接地)	○	○	○	*1 *2 *3 *5	*1
Pins			9452 60 V DC (Hi-Lo 之间) 60 V DC (接地)	○	*1	*1	*1 *2 *3 *5	*1
Clips + Pins			9453 60 V DC (Hi-Lo 之间) 60 V DC (接地)	○	○	○	*1 *2 *3 *5	*1
Pins			9455 60 V DC (Hi-Lo 之间) 60 V DC (接地)	○	*1	*1	*1 *2 *3 *5 *6	*1
Pins			9461 60 V DC (Hi-Lo 之间) 60 V DC (接地)	*1	*1	*1	*1 *2 *3 *5	*1

外观		尺寸 ¹⁾		型号·耐压	3561 3561-01	BT3561A BT3562A BT3563A	BT3562-01 BT3563-01 BT3564	BT4560	BT3554-50
Pins				9465-10 60 V DC (Hi-Lo 之间) 60 V DC (接地)	*1	*1	*1	*1 *2 *3 *5	○
Pins				9770 60 V DC (Hi-Lo 之间) 60 V DC (接地)	○	○	○	*1 *2 *3 *5	*1
Pins				9771 60 V DC (Hi-Lo 之间) 60 V DC (接地)	○	○	○	*1 *2 *3 *5	*1
Pins				9772 60 V DC (Hi-Lo 之间) 60 V DC (接地)	*1	*1	*1	*1 *2 *3 *5	○
Pins				L2020 60 V DC (Hi-Lo 之间) 60 V DC (接地)	*1	*1	*1	*1 *2 *3 *5	○
Pins				L2100 1000 V DC (Hi-Lo 之间) 1000 V DC (接地)	*1	○	○	*2 *3 *5	*2
Pins				L2110 1000 V DC (Hi-Lo 之间) 1000 V DC (接地)	*1	○	○	×	×

电池是向可持续社会进阶、各种创新的原动力。

电池活跃于各个场景中，是各种创新及新生活方式的原动力。为了实现可持续性发展的社会，开发和生产高品质的电池不可或缺。一方面、寄希望于能增长电池的使用寿命。另一方面、也希望可以通过改善制造工艺以及高品质电池的再利用，减少电池在整个生命周期的 CO2 排放量。HIOKI 日置的电池测试仪通过电气测量，将为这个课题的解决做出贡献。



欢迎拨打全国咨询热线：400-920-6010 或发送邮件至： info@hioki.com.cn

HIOKI

日置(上海)测量技术有限公司

日置(上海)测量仪器有限公司
上海市黄浦区西藏中路268号来福士广场4705室
邮编：200001
电话：021-63910090

客户服务
维修服务中心
电话：400-920-6010
E-mail: weixiu@hioki.com.cn

现地研发中心
日置(上海)科技发展有限公司
上海市沪闵路1441号
华谊万创新所9号楼204室
邮编：201109

苏州联络事务所
苏州市虎丘区金山东路79号13幢
苏州龙湖中心1901室
邮编：215011

南京联络事务所
南京市江宁区江南路9号
招商高铁网谷A座3层313室
邮编：210012

北京分公司
北京市朝阳区东三环北路5号
北京发展大厦11层1118室
邮编：100004

沈阳联络事务所
沈阳市沈河区青年大街167号
北方国际传媒中心903室
邮编：110000

济南联络事务所
济南市历下区工业南路68号
华润置地广场一区6号楼1902室
邮编：250000

成都分公司
成都市锦江区琉璃路8号
华润广场B座1607室
邮编：610021

西安联络事务所
西安市雁塔区锦业路与
丈八二路交汇处
绿地中心A座22层2208A室
邮编：710065

经销商：

广州分公司
广州市天河区体育西路103号
维多利广场A塔3206室
邮编：510620

深圳分公司
深圳市福田区深南中路3031号
汉国城市商业中心3202室
邮编：518000